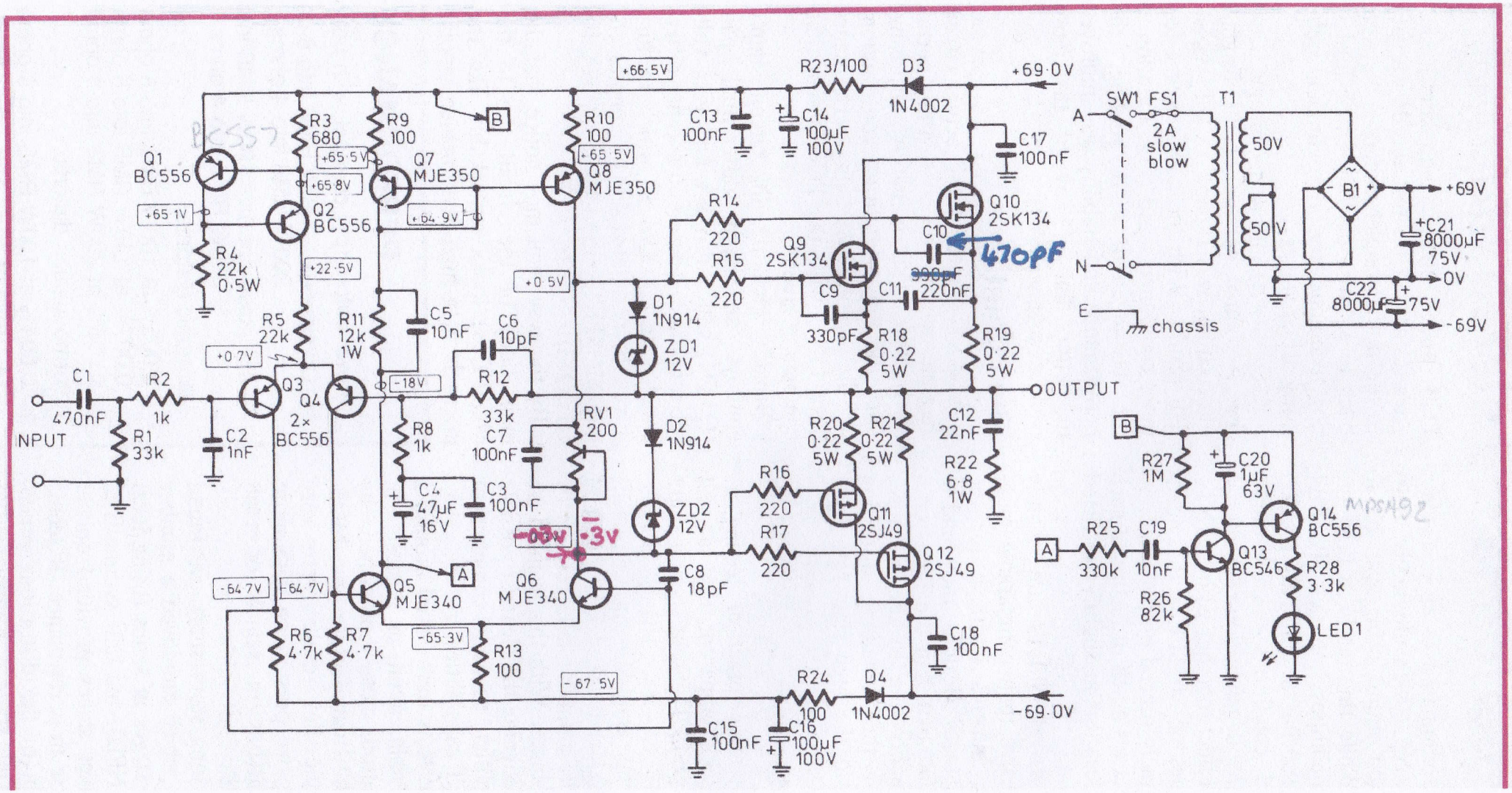
+66·5V
R23/100
D3
1N4002
+69·0V
SW1
FS1
T1
A
2A
slow
blow
50V
50V
B1
+69V
+C21
8000µF
75V
0V
C22
8000µF
75V
-69V
N
E
chassis
C13
100nF
C14
100µF
100V
C17
100nF
Q10
2SK134
C10
470pF
990pF
C11
220nF
R14
220
R15
220
Q9
2SK134
C9
330pF
R18
0·22
5W
R19
0·22
5W
OUTPUT
R3
680
R9
100
R10
100
Q1
BC556
Q2
BC556
Q7
MJE350
Q8
MJE350
+65·5V
+65·8V
+65·1V
+64·9V
+65·5V
R4
22k
0·5W
+22·5V
+0·5V
R5
22k
R11
12k
1W
C5
10nF
C6
10pF
D1
1N914
ZD1
12V
+0·7V
-18V
R12
33k
C1
470nF
R2
1k
INPUT
R1
33k
C2
1nF
Q3
Q4
2×
BC556
R8
1k
C7
100nF
RV1
200
D2
1N914
C4
47µF
16V
C3
100nF
ZD2
12V
-00V
-3V
-70
Q5
MJE340
Q6
MJE340
C8
18pF
R16
220
R17
220
Q11
2SJ49
Q12
2SJ49
R20
0·22
5W
R21
0·22
5W
C12
22nF
R22
6·8
1W
C18
100nF
-64·7V
-64·7V
R6
4·7k
R7
4·7k
-65·3V
R13
100
-67·5V
R24
100
D4
1N4002
-69·0V
C15
100nF
C16
100µF
100V
B
R27
1M
C20
1µF
63V
Q14
BC556
MPSA92
R25
330k
C19
10nF
Q13
BC546
R28
3·3k
R26
82k
LED1